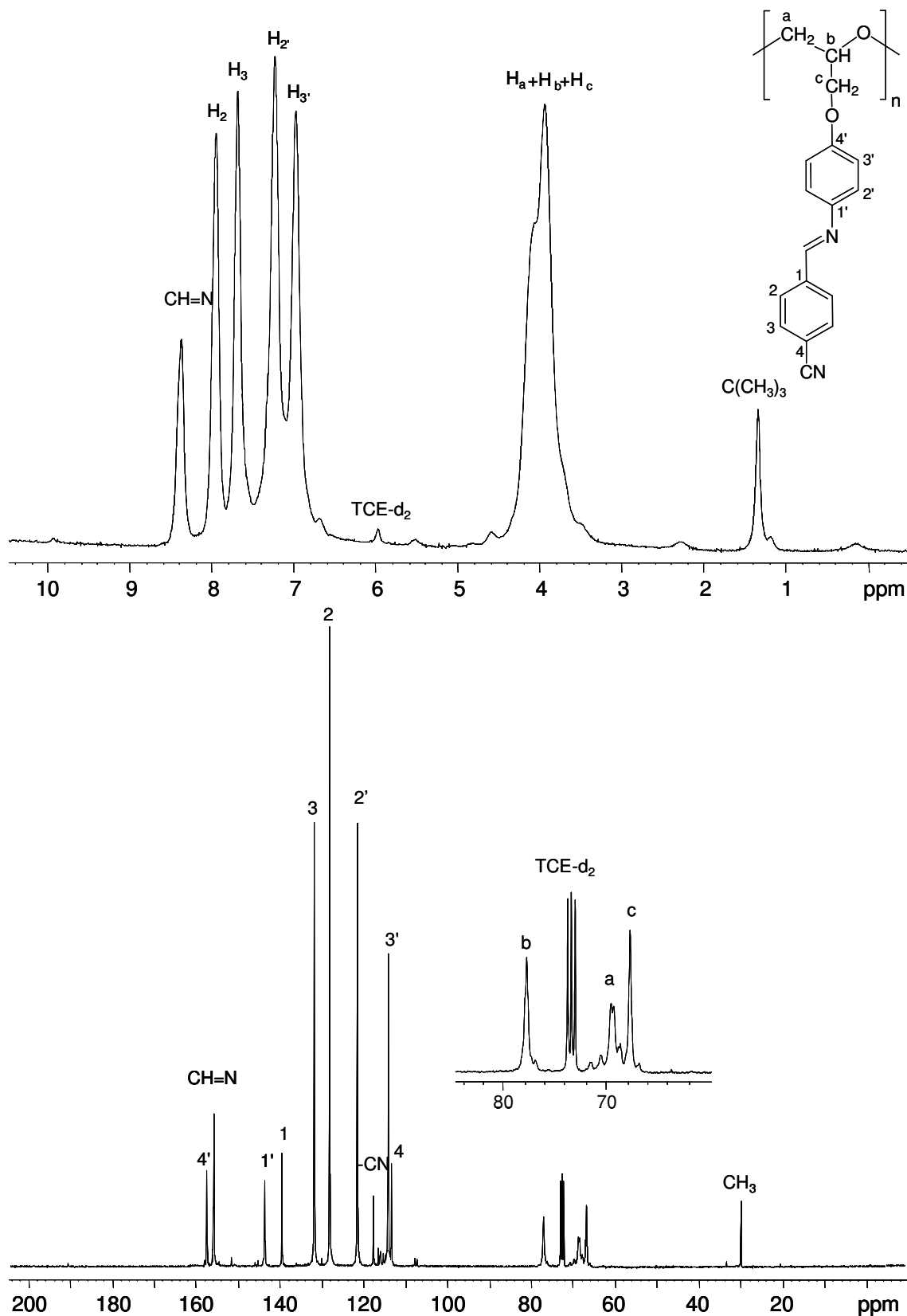
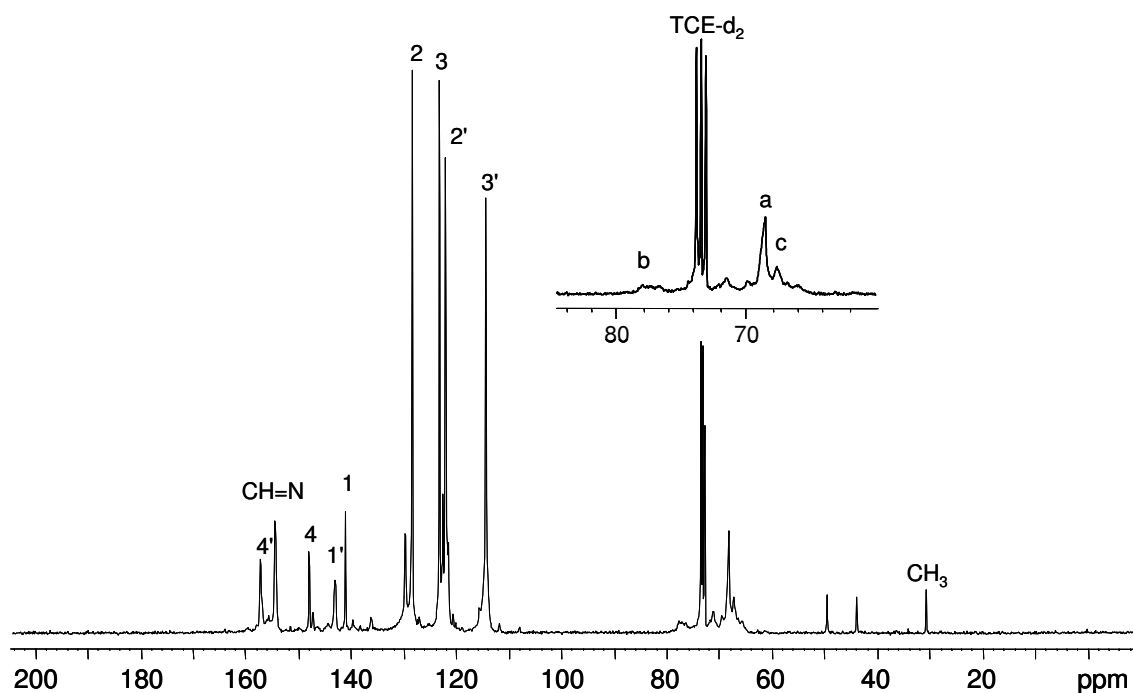
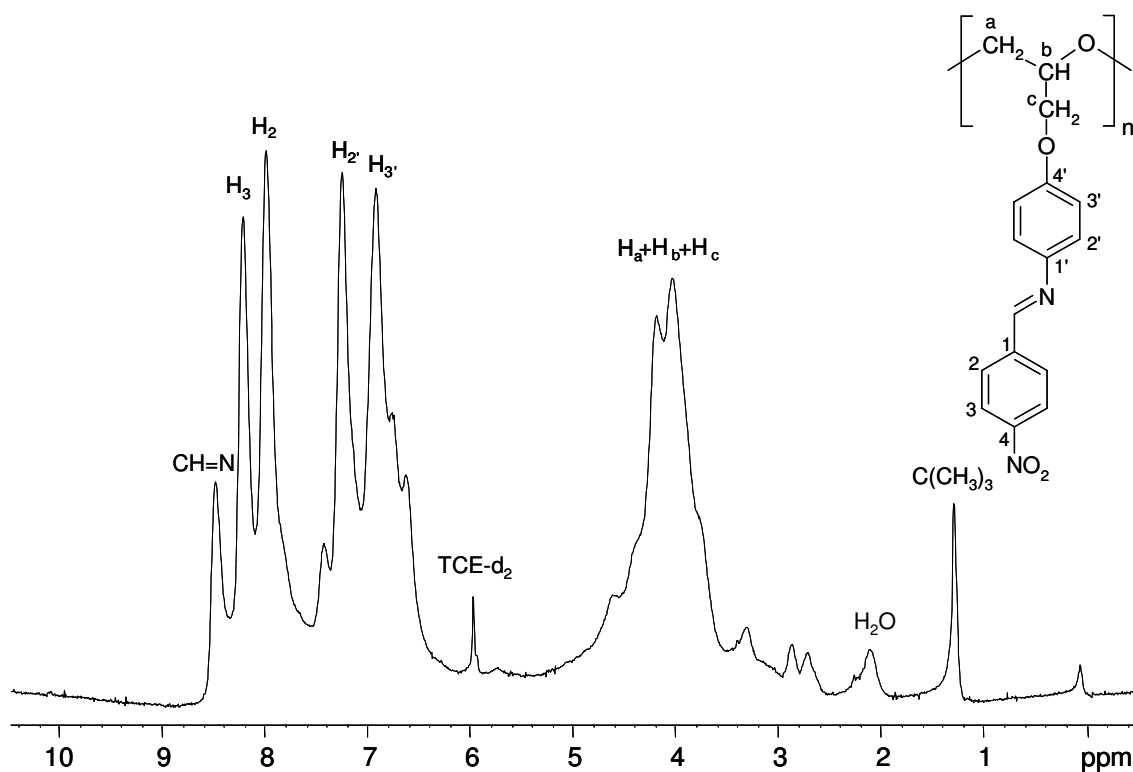


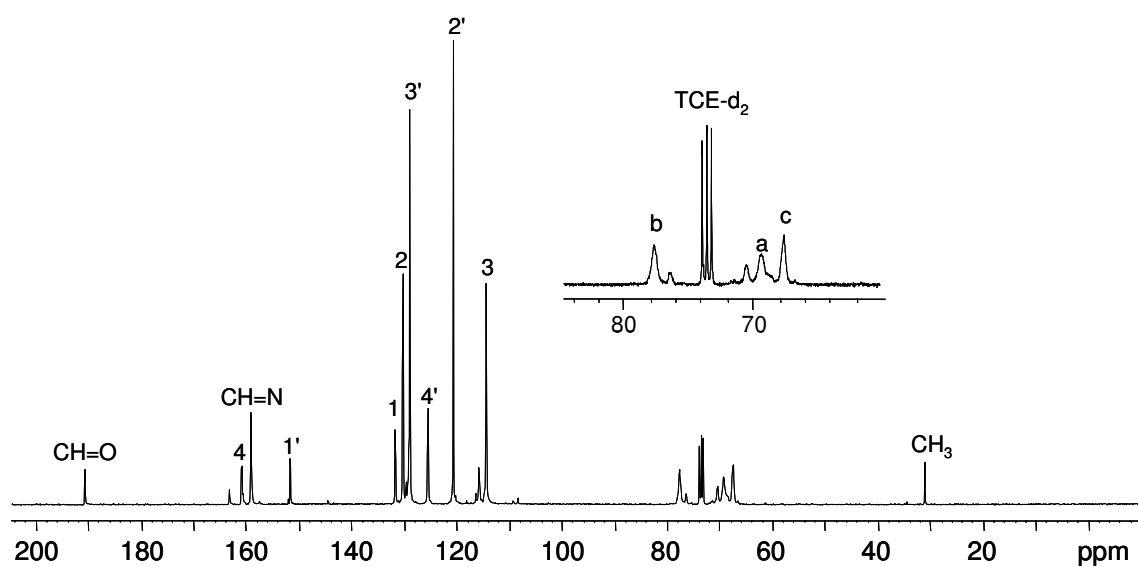
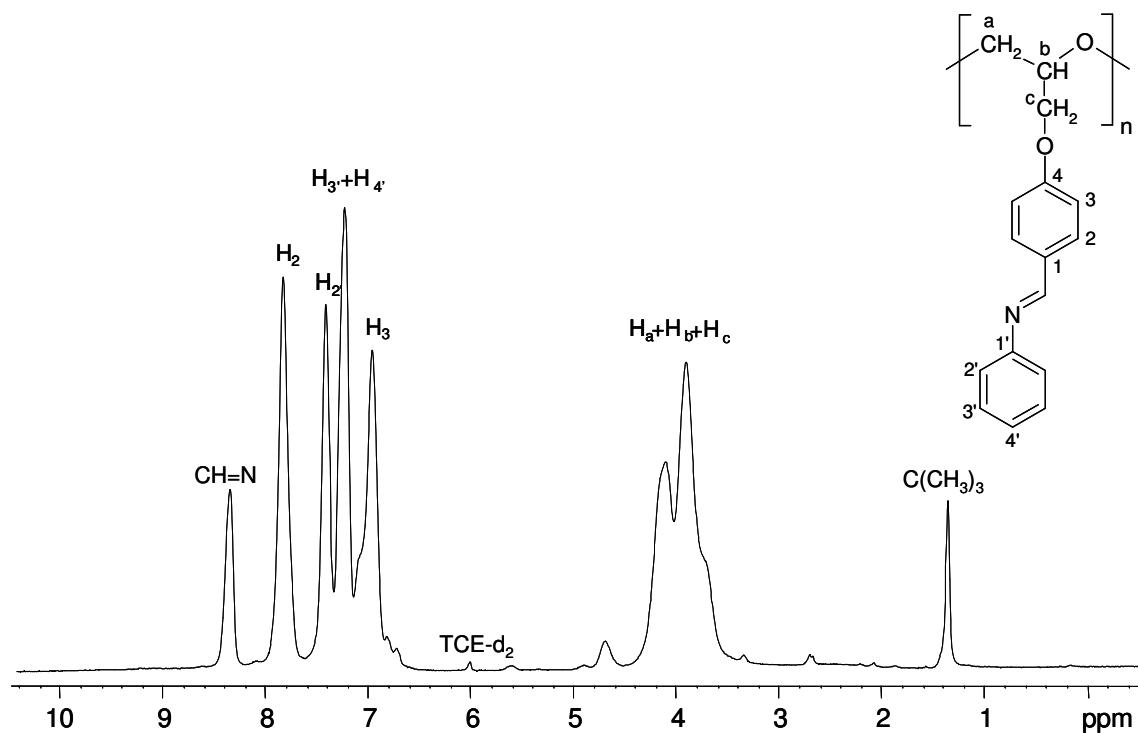
**Espectros 3.1:** Espectros de RMN de <sup>1</sup>H y <sup>13</sup>C del poli(glicidiléter del (E)-4-(bencilidenamino)fenol) obtenido con el sistema iniciador 3,5-di-*tert*-butilfenol/t-Bu-P<sub>4</sub>, registrado en TCE-d<sub>2</sub>.



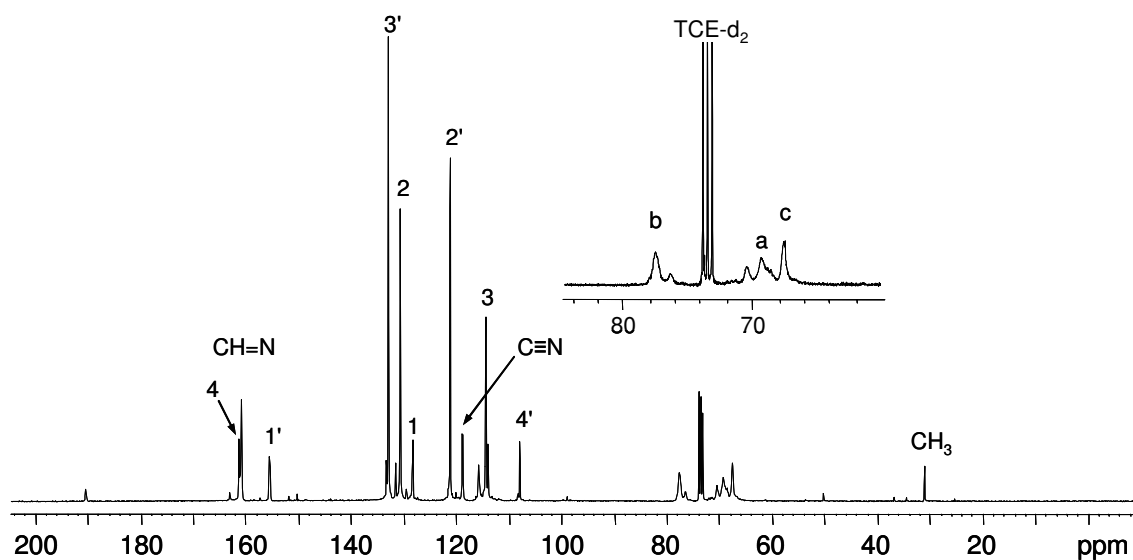
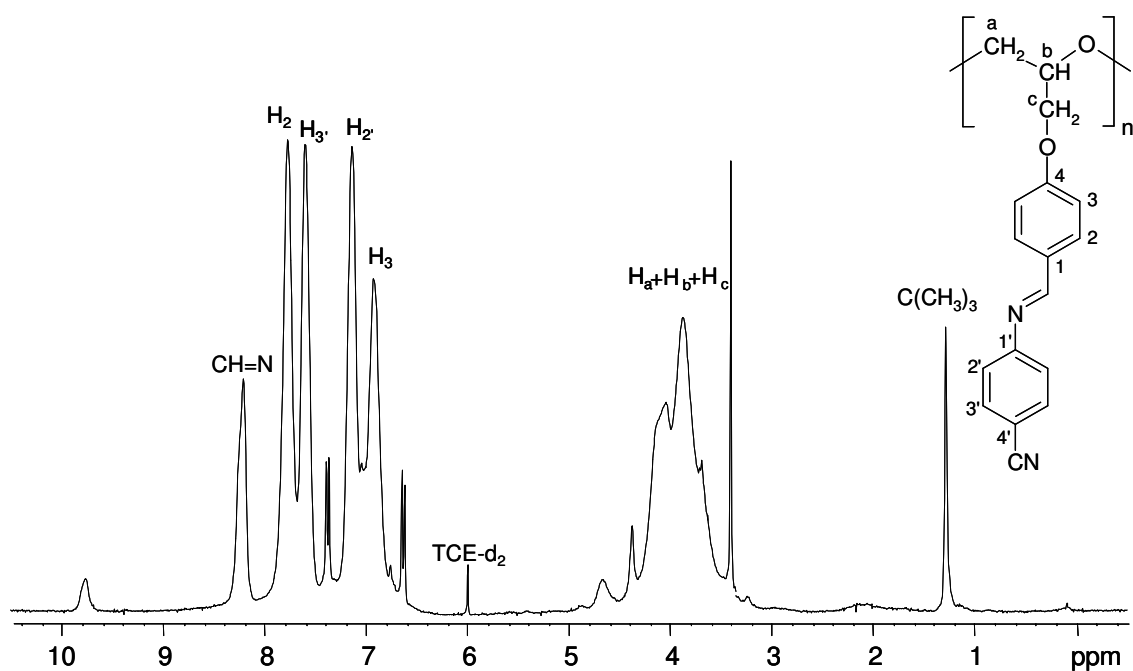
**Espectros 3.2:** Espectros de RMN de  $^1\text{H}$  y  $^{13}\text{C}$  del poli(glicidiléter del (E)-4-[(4-hidroxiifenil)imino]metil]benzonitrilo) obtenido con el sistema iniciador 3,5-di-*tert*-butilfenol/*t*-Bu- $\text{P}_4$ , registrado en  $\text{TCE-d}_2$ .



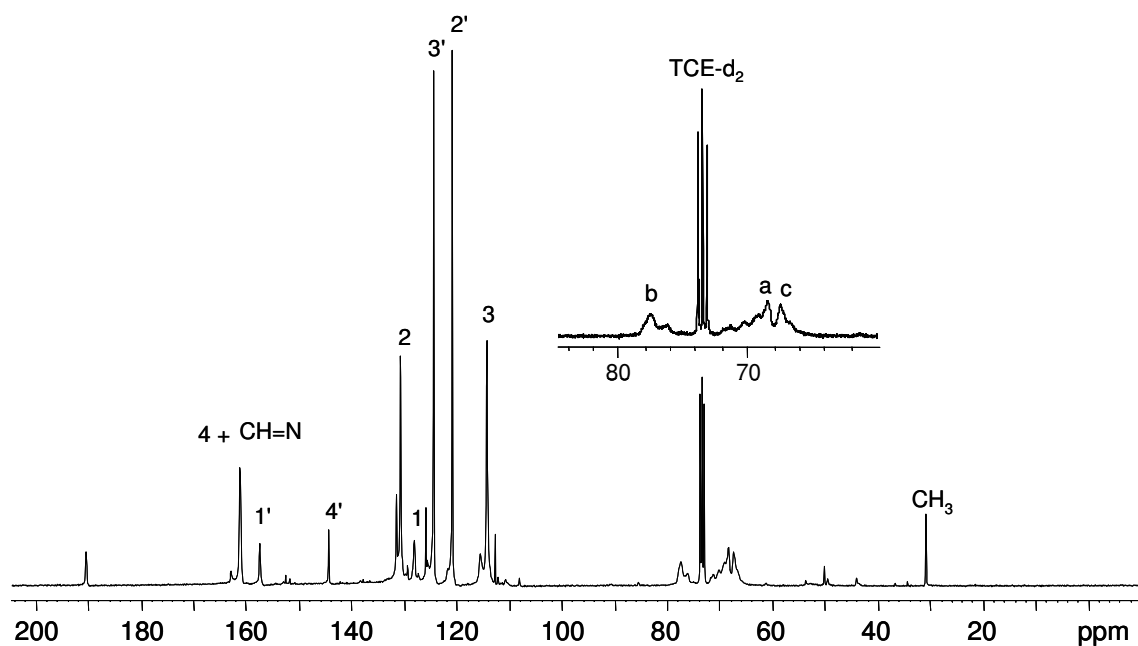
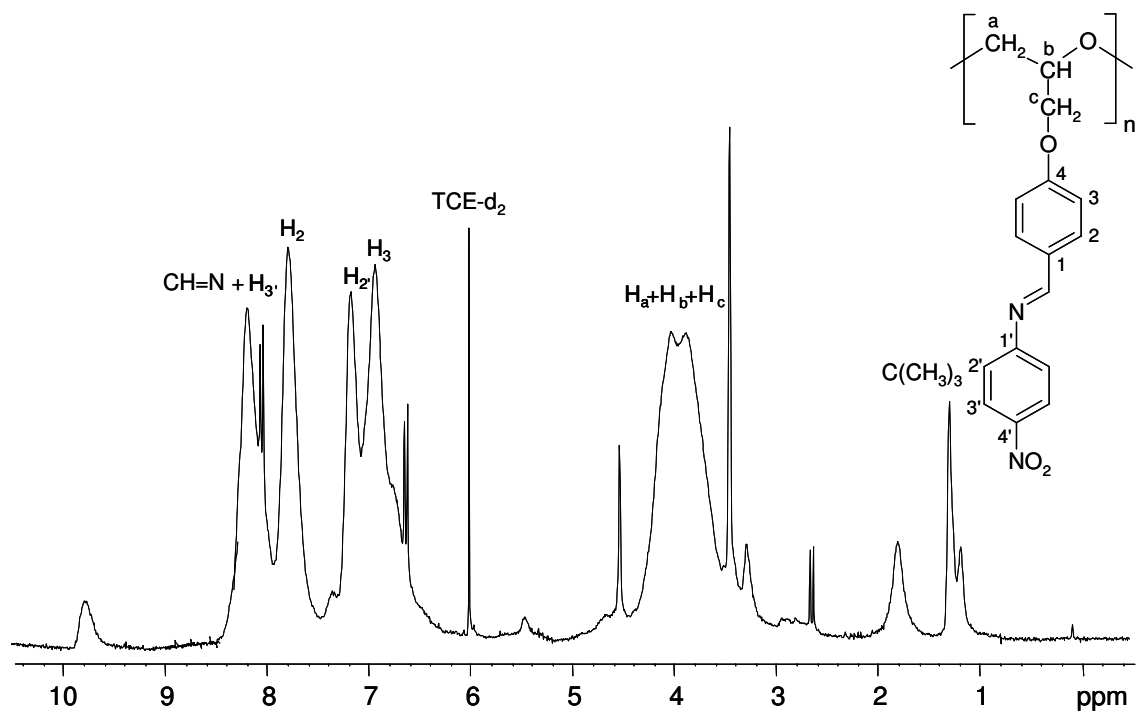
**Espectros 3.3:** Espectros de RMN de  $^1\text{H}$  y  $^{13}\text{C}$  del poli(glicidiléter del (E)-4-(4-nitrobenzylidenamino)fenol) obtenido con el sistema iniciador 3,5-di-*tert*-butilfenol/*t*-Bu- $\text{P}_4$ , registrado en TCE- $\text{d}_2$ .



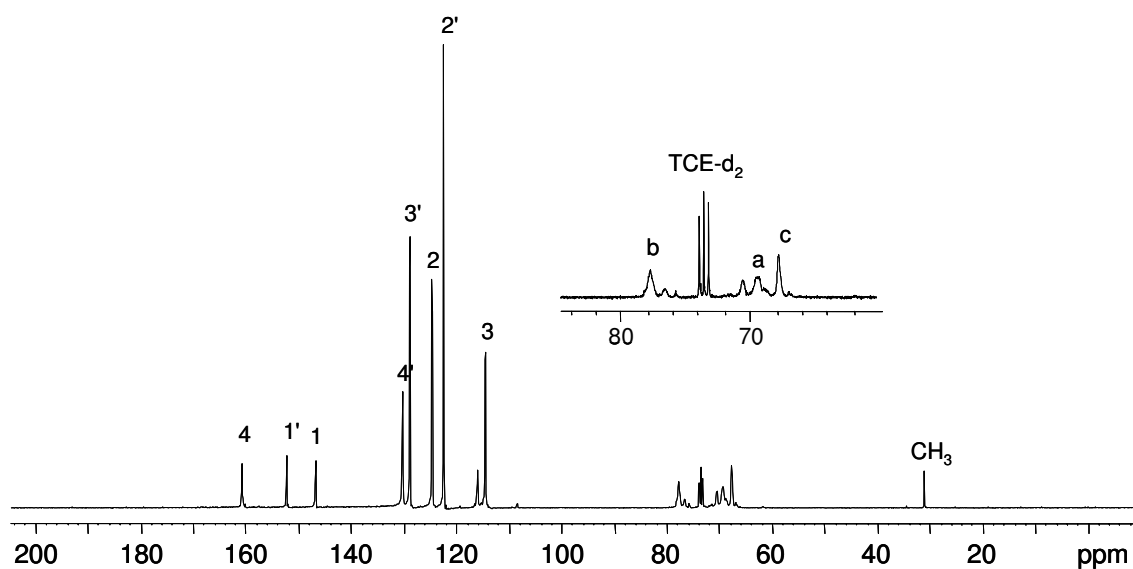
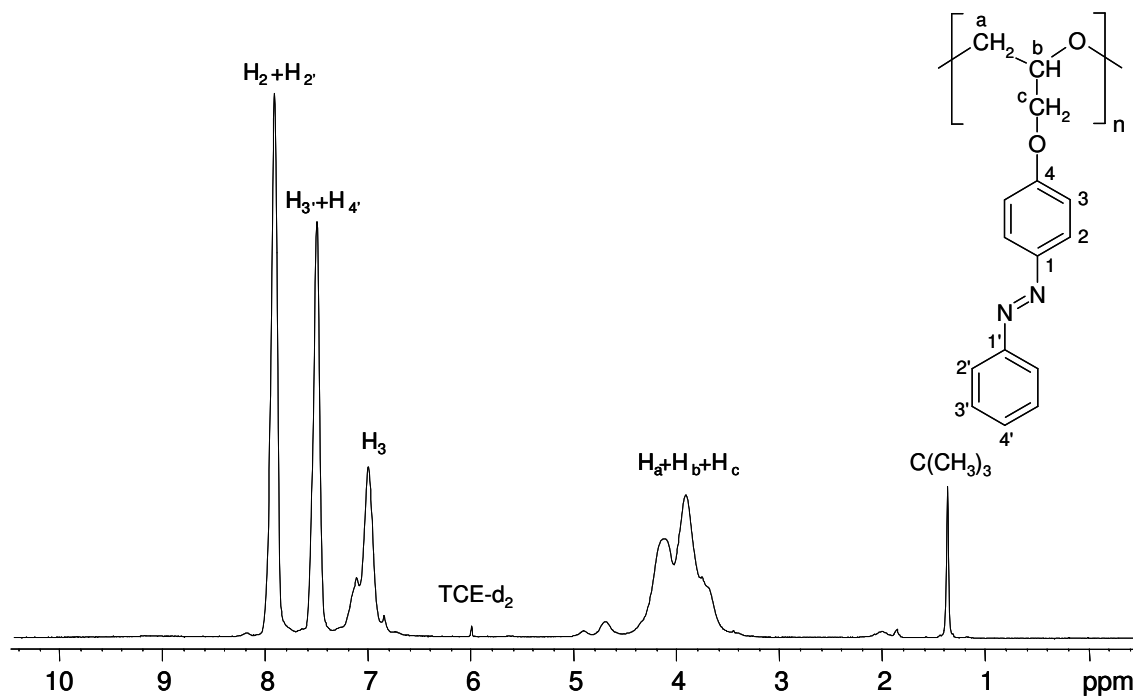
**Espetros 3.4:** Espetros de RMN de  $^1\text{H}$  y  $^{13}\text{C}$  del poli(glicidiléter del (E)-4-[(fenilimino)metil]fenol) obtenido con el sistema iniciador 3,5-di-*terc*-butilfenol/*t*-Bu- $\text{P}_4$ , registrado en  $\text{TCE-d}_2$ .



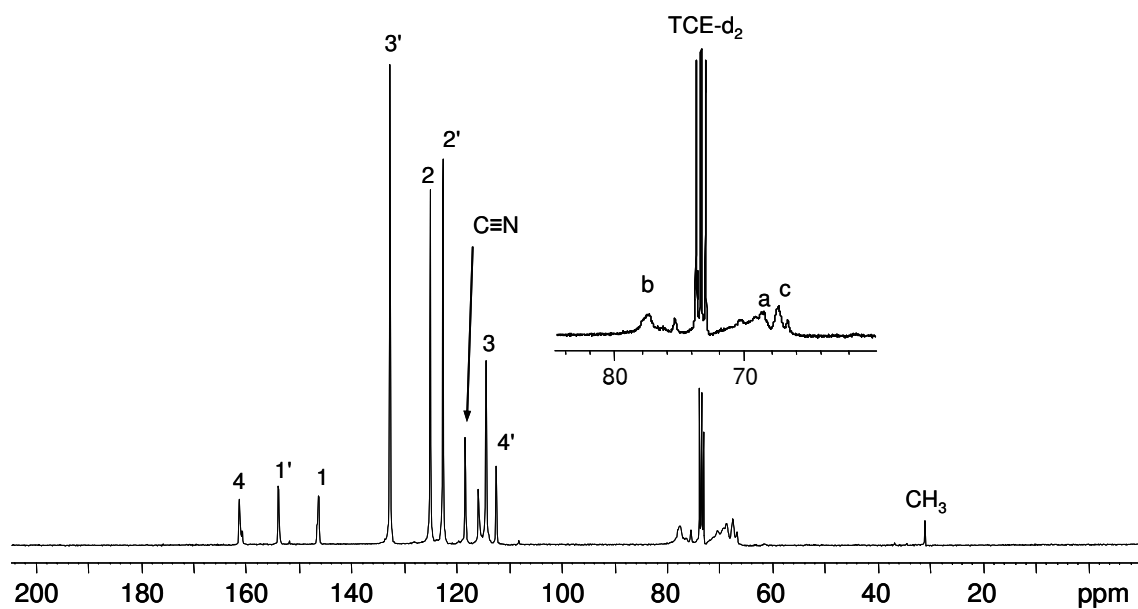
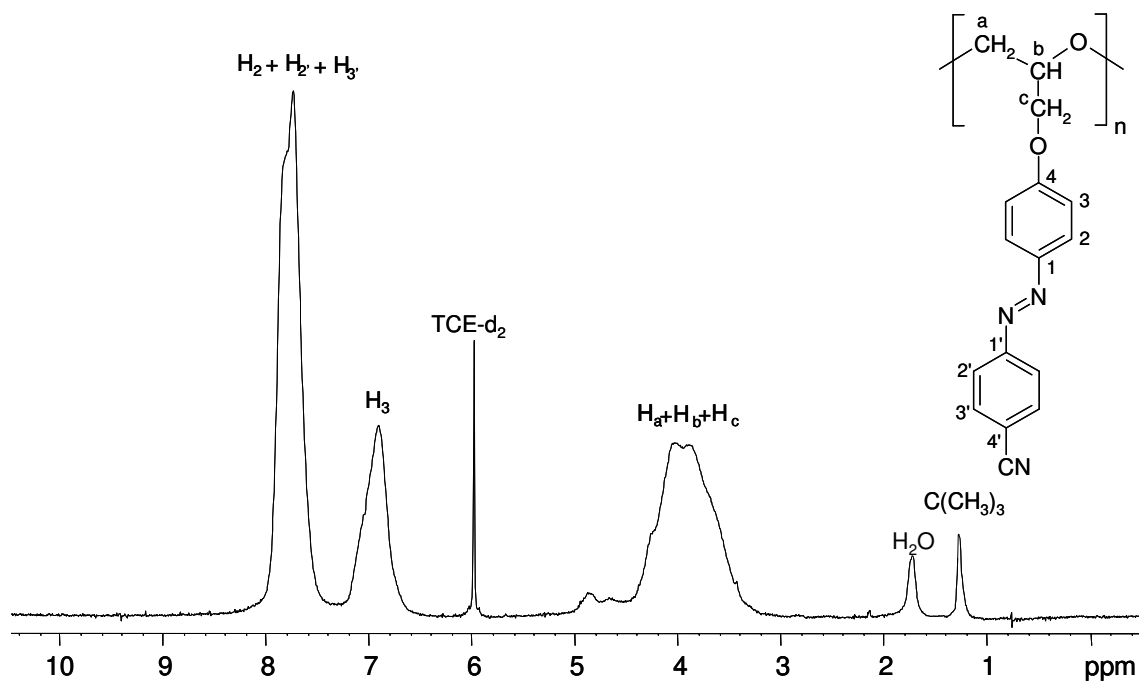
**Espectros 3.5:** Espectros de RMN de <sup>1</sup>H y <sup>13</sup>C del poli(glicidiléter del (E)- 4-(4-hidroxibencilidenamino)benzonitrilo) obtenido con el sistema iniciador 3,5-di-*tert*-butilfenol/*t*-Bu-P<sub>4</sub>, registrado en TCE-d<sub>2</sub>.



**Espetros 3.6:** Espetros de RMN de  $^1\text{H}$  y  $^{13}\text{C}$  del poli(glicidiléter del (E)-4-[(4-nitrofenil)imino]metil}fenol) obtenido con el sistema iniciador 3,5-di-*terc*-butilfenol/*t*-Bu- $\text{P}_4$ , registrado en TCE- $\text{d}_2$ .

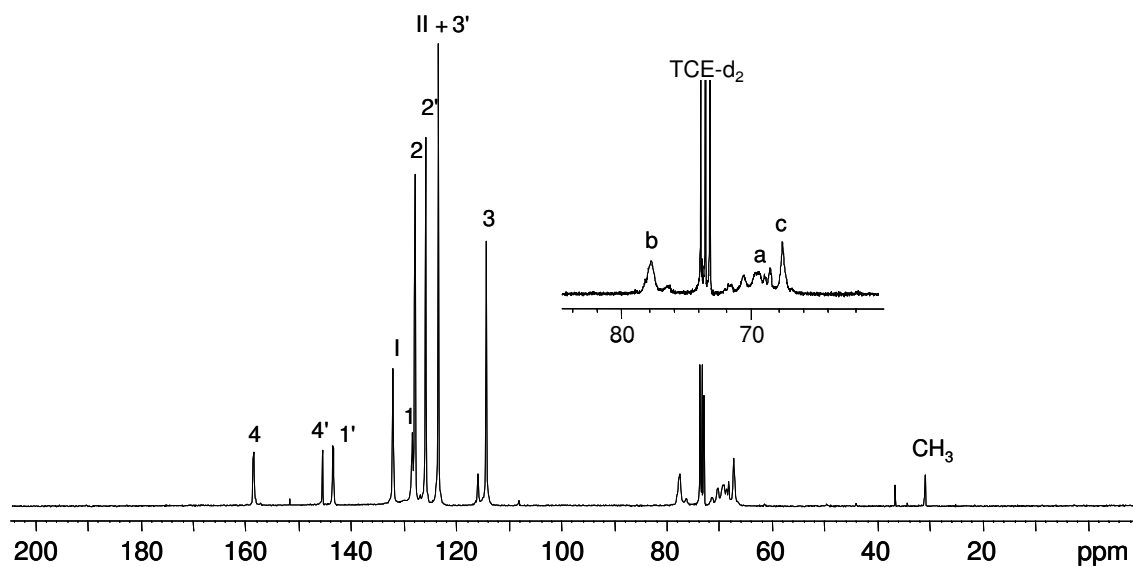
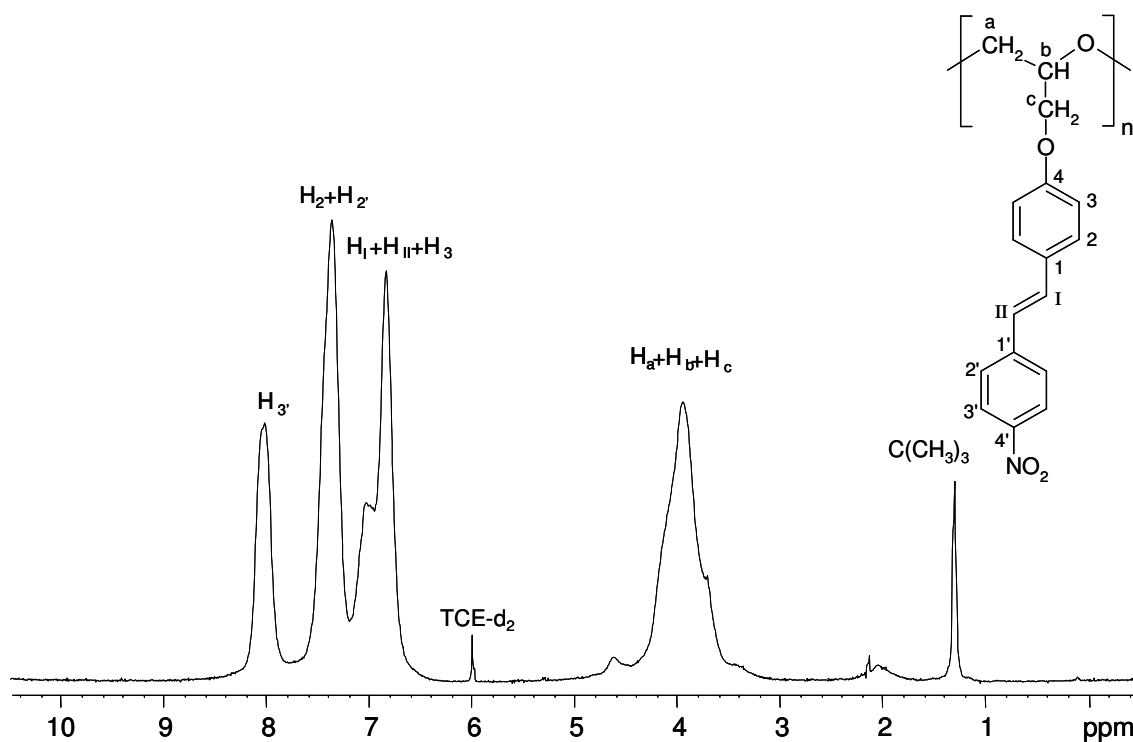


**Espectros 3.7:** Espectros de RMN de  $^1H$  y  $^{13}C$  del poli(glicidiléter del (E)-4-[(fenil)diazenil]fenol) obtenido con el sistema iniciador 3,5-di-*terc*-butilfenol/*t*-Bu- $P_4$ , registrado en TCE- $d_2$ .

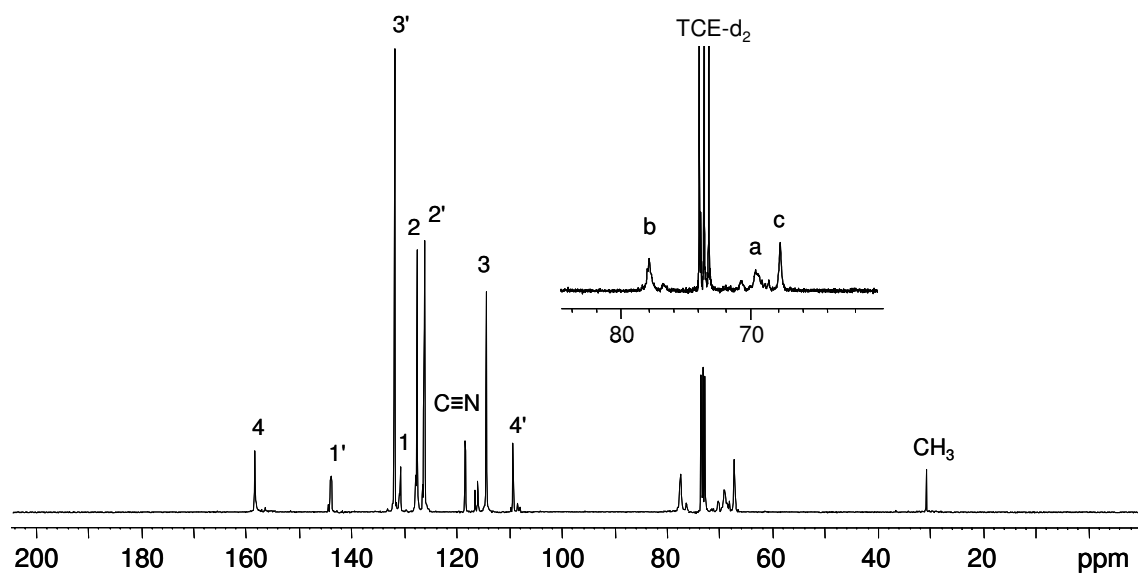
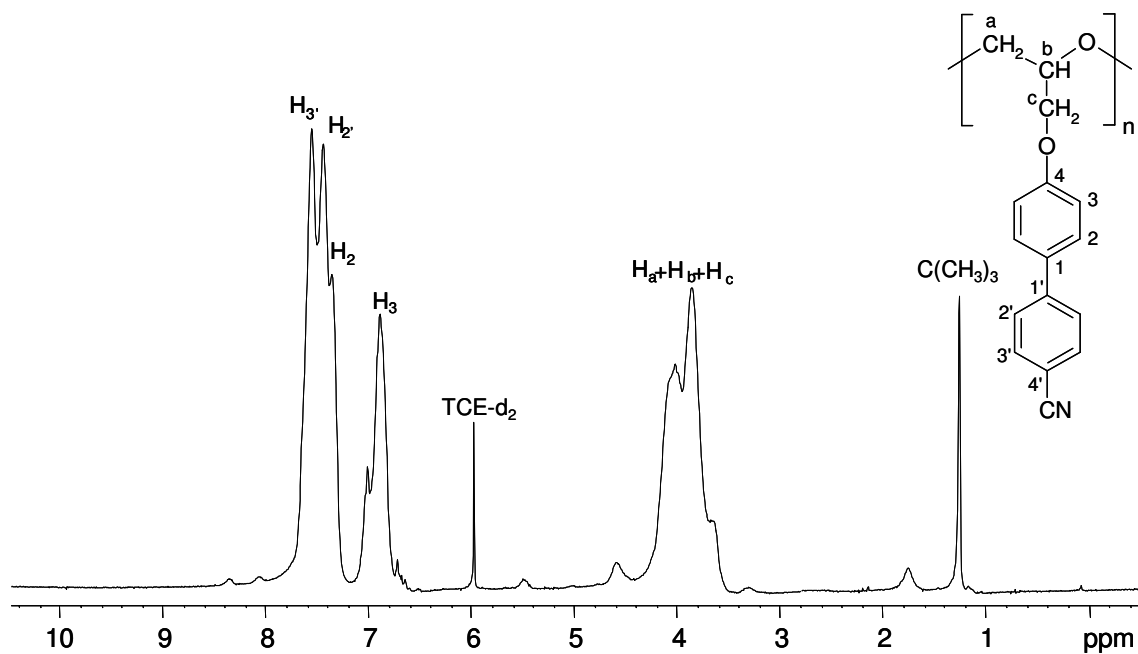


**Espectros 3.8:** Espectros de RMN de  $^1H$  y  $^{13}C$  del poli(glicidiléter del (E)-4-[(4-hidroxifenil)diazenil]benzotrilo) obtenido con el sistema iniciador 3,5-di-*terc*-butilfenol/*t*-Bu- $P_4$ , registrado en TCE- $d_2$ .

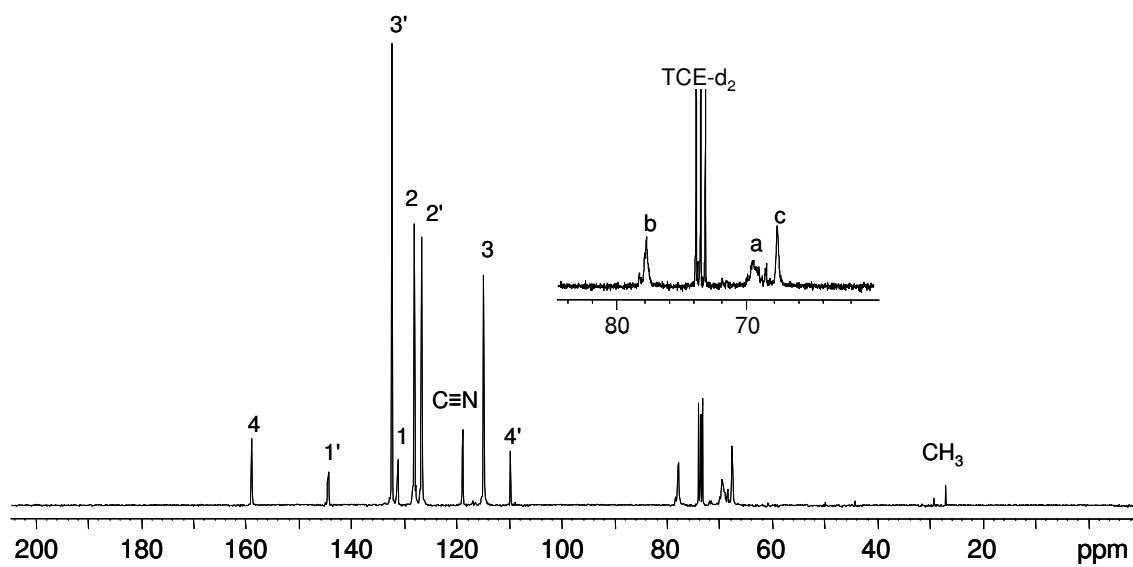
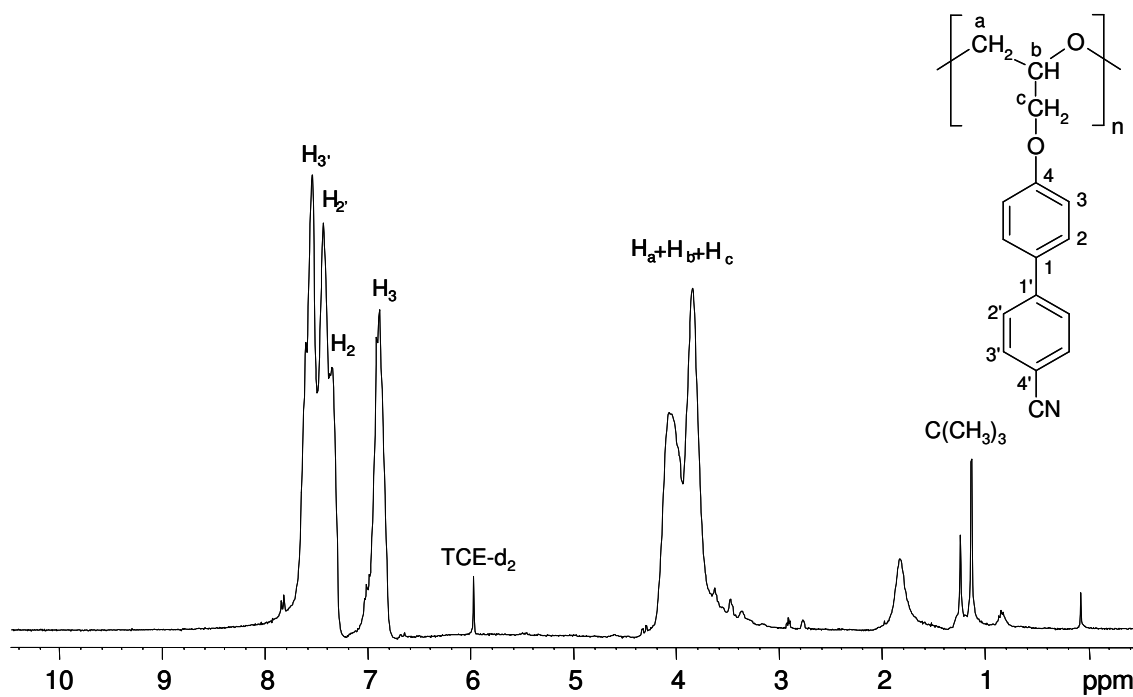




**Espectros 3.9:** Espectros de RMN de  $^1H$  y  $^{13}C$  del poli(glicidiléter del trans-4-hidroxi-4'-nitroestilbeno) obtenido con el sistema iniciador 3,5-di-*tert*-butilfenol/*t*-Bu- $P_4$ , registrado en TCE- $d_2$ .



**Espectros 3.10:** Espectros de RMN de  $^1\text{H}$  y  $^{13}\text{C}$  del poli(glicidiléter del 4'-hidroxibifenil-4-carbonitrilo) obtenido con el sistema iniciador 3,5-di-*terc*-butilfenol/*t*-Bu- $\text{P}_4$ , registrado en  $\text{TCE-d}_2$ .



**Espectros 3.11:** Espectros de RMN de  $^1\text{H}$  y  $^{13}\text{C}$  del poli(glicidiléter del 4'-hidroxibifenil-4-carbonitrilo) obtenido con el *K* *tert*-BuO, registrado en  $\text{TCE-d}_2$ .